

## [ノート]

# GC/MS を用いたジイソプロピルナフタレンの高感度測定法の開発

鈴木元治 \* 松村千里 中野 武

## Development of High Sensitive Analytical Method for Diisopropylnaphthalene by GC/MS

Motoharu SUZUKI\*, Chisato MATSUMURA and Takeshi NAKANO

*Environmental Safety Division, Hyogo Prefectural Institute of Public Health and Environmental Sciences, 3-1-27 Yukihira-cho, Suma-ku, Kobe, 654-0037, Japan*

High sensitive analytical method for Diisopropylnaphthalene (DIPN) was developed by GC/MS. Contamination of DIPN was minimized due to the reduction of instruments and analysis time in pre-treatment. Detection limit and quantification limit of this method were 0.71ng/L and 1.8ng/L. From this method, 8 isomers of DIPN were assigned and approximately ten times higher sensitivity than previous methods was obtained. This method was suitable for the analysis of DIPN in environmental water samples.

### I はじめに

ジイソプロピルナフタレン (DIPN) は、ナフタレンの 2 つの水素原子がイソプロピル基に置換された構造をしており (Fig.1), ポリ塩化ビフェニル (PCB) の代替品として 1970 年頃からインク溶剤や熱媒体油など様々な分野で使用されている。しかしながら DIPN は、難分解性かつ高蓄積性であるため<sup>1, 2)</sup>, 2004 年には化学物質審査規制法（化審法）の第一種監視化学物質に指定された。日本での 2004 年度の DIPN の製造・輸入・使用量は 608 トンである。

DIPN には各種の生体影響があり、魚類に対する急性毒性は、OECD 分類基準では toxic に相当する（ヒメダカに対する  $LC_{50}$  が 4.3mg/L）。また、慢性影響として実験動物の肝臓肥大化や染色体異常の誘発などが報告されている<sup>3)</sup>。このようなことから、DIPN の健康や環境への影響が懸念されており、DIPN の汚染状況を把握することが求められている。

---

安全科学部

\* 別刷請求先：〒 654-0037 神戸市須磨区行平町 3-1-27

兵庫県立健康環境科学研究センター

安全科学部 鈴木 元治

DIPN の環境調査は、環境省により 1975 年、1977 年及び 1980 年に全国の水質、底質及び魚類を対象として行われた<sup>4)</sup>。当時の調査結果では、他府県の一部の底質及び魚類からそれぞれ 1.9 ~ 190ng/g 及び 0.52 ~ 48ng/g 検出され、兵庫県の測定地点であった姫路沖の水質、底質及び魚類からは全て検出されなかった。また、すべての地域の水試料からは DIPN が検出されなかった。当時の水試料に対する測定下限は 10ng/L 程度であり、環境水中の DIPN の動態を詳細に把握するためには更に高感度の測定方法が必要であった。また、当時の測定条件では DIPN の異性体を十分に同定することができなかつた<sup>4, 6)</sup>。

そこで、今回はガスクロマトグラフ質量分析器 (GC/MS) を用いて、環境水中の極めて低濃度で存在する DIPN に対して検出可能な測定感度をもち、異性体をすべて同定できる DIPN の測定方法の開発を試みた。

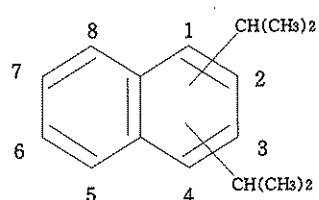


Fig.1 Constitutional formula of DIPN

## II 方 法

### 1. DIPN の標準および試薬

DIPN の標準液は、工業用の高純度 DIPN 原液をヘキサン溶媒に希釈して作成した。DIPN の異性体別の標準液は、Table1 に示したものを、それぞれヘキサン溶媒に希釈して作成した。2,6-DIPN 及び 2,7-DIPN の標準は東京化成より購入し、その他は Dr.Robert. Brzozowski (ICRI) 及び杉 義弘博士 (岐阜大学) から提供頂いた。

ヘキサン、ジクロロメタン (DCM) 及びアセトンは、残留農薬・PCB 試験用 (5000 倍濃縮) を用いた。塩化ナトリウム及び無水硫酸ナトリウムは残留農薬試験用を用いた。硫酸 (>95%) は、試薬特級を用いた。これらは、すべて和光純薬より購入した。精製水は、純水装置 Elix の純水 (> 3MQ·cm) (Millipore 社) をヘキサン振とうにより不純物を更に除去して用いた。

固相吸着剤の検討には、Envi-18 及び Florisil (500mg in 8mL Glass Tube, SPELCO), PS2, C18 及び PS-Air (Sep-Pak Plus, Waters), C18 粉末 (BONDESIL) を用いた。

### 2. 使用機器

振とう器は、SR-2w (TAITEC 社) を用いた。濃縮器は EYEL4 (TOKYO RIKAKIKAI 社), Syncore (BUCHI 社), ターボバップ LV 及び II (Zymark 社) を用いた。ガスクロマトグラフ (GC) は、HP5890 (Agilent 社), 質量分析器 (MS) は JMS-AM II 150 (JEOL 社) を用いた。カラムは、Table2 に示した 3 本のカラムを検討した。

### 3. GC/MS の測定条件及び測定手順

GC/MS の測定条件は前回<sup>5)</sup>を参考に、Table3 のように設定した。DIPN の定量は、すべての異性体の合計面積と内標準 (HCB-<sup>13</sup>C<sub>6</sub>) との面積比から求めた。定量イオンは m/z 212 とした。

測定方法の基本手順は Fig.2 に示した。Fig.2 におけるヘキサン抽出とは、以下の操作をいう。すなわち、試料水 1L を採取した 1L 試薬瓶に直接ヘキサン 10mL を添加し、振とう器に逆さまにセットして 10 分間振とうする。静置後に精製水を加えることでヘキサン層を瓶口まで上昇させ、パストールピペットでヘキサン層を分取する。

### 4. 検出下限、定量下限及び添加回収試験

検出下限 (MDL), 定量下限 (MQL) 及び添加回収試験の方法は、環境省の「化学物質環境実態調査の手引き (平成 17 年 3 月)」に従った。MDL 及び MQL は、精製水 1L に DIPN1ng を添加し、7 回測定した結果の標準偏差より求めた。添加回収試験は、精製水、河川水及び海水それぞれ 1L に DIPN10ng 及び 20ng を添加して 3 回測定し、その回収率を求めた。

### 5. 環境水試料の測定

姫路沖、揖保川及び神戸市の都市河川である妙法寺川から試料水 1L を採取し、Fig.2 に従って測定した。

Table 1 Standards of DIPN isomers

	pure	2,6-DIPN	>99%
	pure	2,7-DIPN	>95%
	pure	1,3-DIPN	99.5%
	pure	1,5-DIPN	99.1%
mixture1	1,3-DIPN	57%	
	1,7-DIPN	40%	
mixture2	1,3-DIPN	2.0%	
	1,7-DIPN	2.7%	
	2,3-DIPN+X	0.4%	
	2,6-DIPN	31.9%	
	2,7-DIPN	43.8%	
	1,6-DIPN	15.8%	
	1,4-DIPN	1.5%	
	1,5-DIPN	1.9%	

Table 2 Columns for peak isolation of DIPN isomers

Column	Liquid phase	Film thickness (μm)	Bore size × length (m)
Wax-10 (Supelco)	Polyethyleneglycol (polar)	0.25	0.32×30
Ultra-2 (Agilent)	5% difenylsiloxane (non-polar)	0.33	0.2×25
Equity-5 (Supelco)	5% difenylsiloxane (non-polar)	0.25	0.25×30

Table 3 Operating conditions of GC/MS

GC:HP-5890 II / MS:JMS-AMII	
Inj. mode:Splitless(Purge 1.5min)	
Inj. temp.:270 °C	Inj. volume: 2 μL
Carrier gas:Helium (1.5mL/min)	
Ion source temp.:210°C	Interface temp.: 240°C
Ionization:70eV, 300μA	
Detection mode:SIM	
Oven:	50°C(1min)→20°C/min→100°C→5°C/min→210°C→20°C/min→270°C(1min)

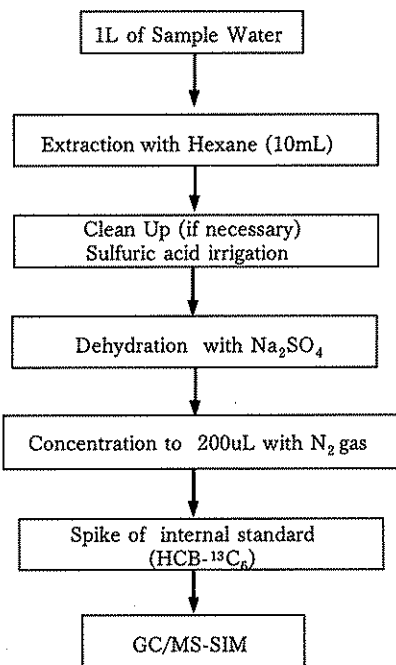


Fig.2 Sample preparation method for DIPN analysis.

### III 結果及び考察

#### 1. 異性体の分離及び同定

DIPN には構造上 10 種の異性体が存在する。1,2-DIPN 及び 1,8-DIPN の存在割合は、イソプロピル基の立体障害により他の異性体に比べて特に低い<sup>9)</sup>。そのため、それらを除く 8 種の異性体の分離及び同定を検討した。

最初に、異性体ピークの分離に適したカラムの選択について検討した。用いたカラムは、高極性カラムとして Wax-10、低極性カラムとして Ultra-2 及び Equity-5 であり、詳細は Table3 に示した。Ultra-2 及び Equity-5 は膜厚が異なり、それぞれ 0.33 μm 及び 0.25 μm である。Wax-10 の膜厚は Equity-5 と同じく 0.25 μm である。それぞれのカラムを用いて DIPN 標準液 100 μg/L を測定した。

Fig.3 にそれぞれのカラムにより測定したクロマトグラムを示す。Wax-10 及び Ultra-2 では異性体ピークがそれぞれ 8 本検出された。しかし、Ultra-2 ではピークのリーディング及び重なりが生じた。Ultra-2 と同じ極性である Equity-5 では、ピークの著しい重なりによってピークが 6 本しか検出されず、膜厚の薄いものでもピークの重なりは改善しなかった。DIPN は logPow4.90<sup>9)</sup> であり、極性が低いため、これまで DIPN の測定には極性の低いカラムが用いられていた<sup>4,6)</sup>。しかしながら、本測定条件により異性体ピークを良好に分離できたのは Wax-10 であり、他

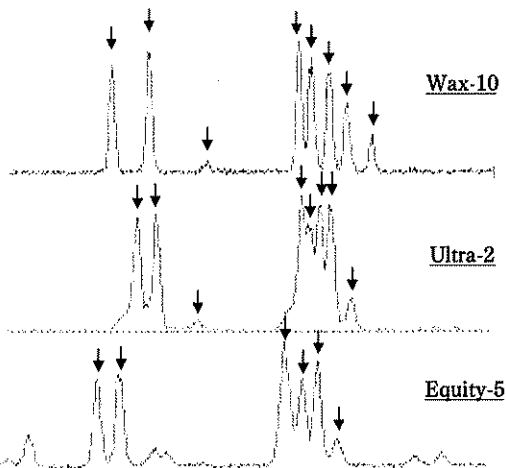


Fig.3 Separated DIPN isomer peaks by columns.

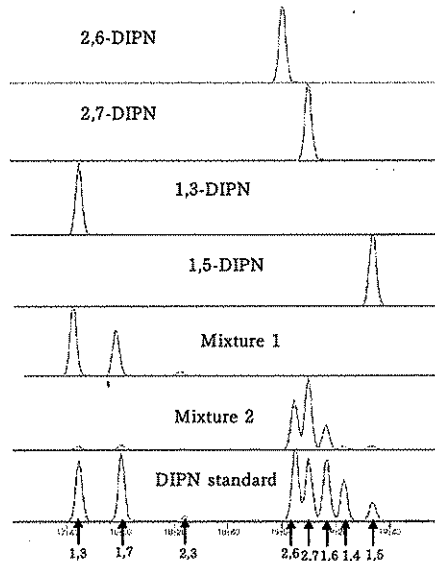


Fig.4 Chromatogram of DIPN isomers

のカラムよりも極性の高いカラムであった。このことは、Brzozowski らの結果と一致した<sup>9,10)</sup>。これらの結果から、カラムには Wax-10 を用いることとした。

次に、DIPN の異性体ピークを同定するため、Table1 に示した異性体別の標準液をそれぞれ測定した。クロマトグラムをそれぞれ Fig.4 に示す。純度の高い 2,6-, 1,3- 及び 1,5-DIPN 標準液の検出強度は、同じ濃度ではほぼ同じであり、本測定条件での DIPN の異性体の感度は同じことが分かった。これらの標準液の測定により、DIPN 標準液の 8 つの異性体ピークは、保持時間の早い順から 1,3, 1,7, 2,3, 2,6, 2,7, 1,6, 1,4 及び 1,5-DIPN と同定した。ただし、2,3-DIPN については Brzozowski ら<sup>9,11)</sup>を参考に同定した。本条件によって 1,2- 及び 1,8-DIPN 以外の存在割合の高いすべての異性体を同定することができた。

2. 固相吸着剤におけるDIPNのコンタミネーション  
試料の前処理として、固相抽出方法の検討を試みたが、固相吸着剤にDIPNのコンタミネーションが認められた。Table4に検討に用いた吸着剤中のコンタミネーション量を示す。ガラスチューブやカートリッジに固相吸着剤が詰められているタイプでは、吸着剤の種類に関わらずコンタミネーション量は多かった。C18カートリッジをC18粉末と容器に分解して、それぞれに含まれるDIPNをヘキサンで抽出し測定した。その結果、粉末及び容器ともにDIPNが検出され、C18粉末のコンタミネーション量は特に多いことが分かった。このことから、製造の過程で吸着剤にDIPNが吸着されていることが考えられた。

検討した6種すべての吸着剤からコンタミネーションが確認され、これらはDCMやアセトンを用いて洗浄してもすべて取り除くことは出来なかった。そのため、固相抽出方法は前処理には不適とし、溶媒抽出法を選択した。

### 3. バックグラウンドの低減の検討

DIPNの測定感度を上げるには、DIPNのバックグラウンドの低減が必要であった。そこで、溶媒抽出法におけるバックグラウンドの低減を検討した。検討した項目は、試料量（精製水1, 2及び3L）、溶媒（ヘキサン、ジクロロメタン）、抽出容器（分液ロート、1L試薬瓶）、溶媒量（10, 50, 100, 150mL）及び濃縮方法（窒素吹付け、真空気化）である。検討した項目以外はすべてFig.2の通りとした。また、クリーンアップには最もコンタミネーションの少ないと考えられる硫酸洗浄を行った。

結果をTable5に示す。最もコンタミネーションが少なかったのは1L試薬瓶を用いる方法であった。そのバックグラウンドは、クリーンアップを行わない場合では $0.1 \pm 0.1\text{ng}$ であり、行った場合でも $0.6 \pm 0.2\text{ng}$ であった。この方法は当センター独自の方法であり、検討した中で処理行程が最も短く、使用器具及び溶媒量が最も少なかった。コンタミネーションの増加の原因是、別報<sup>12)</sup>に示すようにラボ内のあらゆるところに付着している微量のDIPNとの接触頻度の増加によるものと考えられる。

また、DIPNは疎水性が高いため、採水した瓶の壁にDIPNが付着残留しやすい。1L試薬瓶に精製水1Lを入れDIPNを1.5ngを添加して実験した結果では、瓶の内壁にDIPNが約40%残留した。そのため、採水瓶から抽出器具に試料水を移し変えると、採水瓶の壁を洗浄するための溶媒が更に必要となる。

Table 4 Contamination of DIPN in solid phase adsorbent.

	Solid phase adsorbent	Contamination* (ng/DIPN)
Envi-18	500mg in 6mL Glass Tube (SUPELCO)	1000
Florisil	500mg in 6mL Glass Tube (SUPELCO)	100
PS2	Sep-Pak Plus(Waters)	10~100
C18	Sep-Pak Plus(Waters)	10
PS-Air	Sep-Pak Plus(Waters)	10~100
C18 adsorbent	1g (BONDESIL)	1

\*order of magnitude

Table 5 Contamination of DIPN in pre-treatment.

Extraction vessel	Solvent	Solvent volume(mL)	Concentration method	Sample volume(L)	DIPN (ng)	N (times)
1L glass bottle	Hexane	10	N <sub>2</sub> blowing	1	0.1±0.1	3
		100+50**	N <sub>2</sub> blowing	1	0.6±0.2*	4
	Hexane	50	evaporation	2	1.8	1
	DCM	100+50**	N <sub>2</sub> blowing	3	2.2±0.9	2
Separating funnel	DCM	50+50**	evaporation	1	2.3	1
				1	0.7	1

\*with clean up

\*\* The sample is extracted twice.

以上のことから、前処理には1L試薬瓶を用いたヘキサン抽出法を選択し、試料を他の容器に移しかえずに抽出を行うこととした。

### 4. 検出下限、定量下限及び回収率

検出下限値(MDL)及び添加回収試験の結果をTable6及びTable7に示す。回収率は、いずれの水試料においても90%以上であり、良好であった。クリーンアップなしのMDLは0.28ng/Lとなり、クリーンアップありのMDLは0.71ng/Lとなった。一般的に、夾雑物を取り除くためにクリーンアップは必要であるが、明らかにきれいな試料水に対してはクリーンアップを行わないほうがDIPNのコンタミネーションが少ないため、高い測定感度を得られた。クリーンアップを行った場合でも本法の測定感度は従来法<sup>4-6)</sup>の10倍以上であった。

### 5. 環境水試料への適用

開発した測定方法を海水及び河川水試料に適用し、DIPNを測定した。海水試料は姫路沖から採取し、河川水試料は揖保川及び妙法寺川から採取した。それぞれの水試料中のDIPNのクロマトグラムをFig.5に示す。なお、ここでは水試料に対する本測定方法の適正を見るための結果のみを示しており、地点の汚染状態などの考察については、別報<sup>12)</sup>に示すこととする。

姫路沖の海水からは、DIPNがtraceレベルで検出

Table 6 MDL and MQL of DIPN.

	with clean up	
sample(L)	1.0	1.0
concentration(ng/L)	1.0	1.0
Blank	0.24	0.35
result1	0.87	1.4
result2	0.94	1.4
result3	0.91	1.1
result4	0.72	1.3
result5	0.83	1.7
result6	0.87	1.4
result7	0.83	1.2
AVE. (ng/L)	0.85	1.4
STDEV (ng/L)	0.07	0.18
MDL (ng/L)*	0.28	0.71
MQL (ng/L)**	0.72	1.8
CV (%)	8.4	13

$$* \text{MDL} = t(n-1, 0.05) \times \sigma_{n-1} \times 2$$

$$** \text{MQL} = \sigma_{n-1} \times 10$$

Table 7 Recovery of DIPN Analysis.

Sample	DIPN Amount (ng)	Times	Conc. in vial ( $\mu\text{g}/\text{L}$ )	Recovery (%)	STDEV (%)
Distilled water	-	1	trace	-	-
Sea water	10	3	58.0	116	1.4
River water	-	1	3.97	-	-
River water	10	3	55.5	111	14
River water	-	2	5.33	-	-
River water	20	3	91.5	91.5	11.4

された。揖保川の河川水からは、DIPN が 1.8ng/L 検出された。妙法寺川下流の河川水は 4 回測定し、そのうち 1 回のみ DIPN が 2.1ng/L 検出され、残りは trace レベルで検出された。Fig.5 には、DIPN が 2.1ng/L 検出された試料のクロマトグラムを示した。これらの結果から、本測定方法によって今までの測定方法では検出することができなかつた水試料中の極微量の DIPN を測定することが可能となった。

妙法寺川の河川水の検出濃度にばらつきがみられたのは、妙法寺川の河川水は他の水試料に比べてにごりや浮遊物が多かったためと考えられる。生物や底質には、DIPN が 0.1 ~ 100ng/g のオーダーで存在することが報告されているため<sup>4)</sup>、それらの混入が検出濃度に影響すると考えられる。そのため、SS の多い水試料を測定する際には注意が必要である。

また、姫路沖の海水からは妨害ピークが検出された。この妨害ピークは、2,7-DIPN の保持時間あたりに検出され、スキャンモードで測定すると、そのマススペクトルから DIPN ではない別の炭化水素であることが分かった。妨害ピークを排除するため、いくつかの検討を行ったが、現在のところ、妨害ピークの由来も特定できていない。そのため、このような妨害ピークを排除することが今後の課題である。

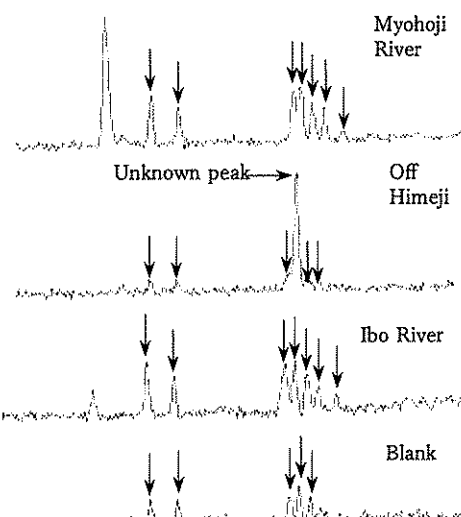


Fig.5 DIPN Chromatograms for River water and Sea water samples.

#### IV まとめ

GC/MS を用いて環境水中の DIPN の測定方法を検討した。キャピラリーカラムに PEG 製の Wax-10 を用いることにより、DIPN の存在割合の高い 8 種の異性体をすべて同定し、定量することができた。前処理として、採水した瓶内で少量のヘキサン (10mL) により抽出することで、DIPN のコンタミネーションを最小限にした。検出下限は 0.71ng/L となり、従来法の 10 倍以上の感度を得た。本測定方法は、水試料中の DIPN の測定に有用であると考えられた。

#### 謝 辞

本研究にあたり、測定方法の開発に協力頂きました環境省の関係者の方々、標準試料を提供頂きました Dr.Robert. Brzozowski (Industrial Chemistry Research Institute) 及び杉 義弘教授 (岐阜大学) に感謝いたします。

#### 文 献

- 1) 羽賀孝英、尾崎邦雄：化学物質の水中における微生物分解性試験。新潟県公害研究所研究報告, 9, 50-53 (1984)
- 2) 通産省化学品安全課監修、化学品検査協会編、化審法の既存化学物質安全性点検データ集、日本化学物質安全・情報センター (1992)
- 3) 厚生労働省医薬食品局審査管理課化学物質対策室監修、平成 9 年度既存化学物質安全性点検結果(概要) Vol.7

- 4) 環境庁環境保健部環境安全課監修, 化学物質と環境 (1980)
- 5) 平成9年度 化学物質分析法開発調査報告書, 環境庁 環境保健部 環境安全課, 176 (1998)
- 6) 児玉剛則: 水中のジイソプロピルナフタレンの分析. 愛知県公害調査センター所報, No.9, 34-39 (1981)
- 7) Brzozowski, R., Dobrowolski, J., Jamroz, M. H., Skupinski, W. : Studies on diisopropynaphthalene substitutional isomerism. *Journal of Molecular Catalysis A, Chemical* 170 (2001).
- 8) Hazardous Substances Data Bank (HSDS) , U.S.National Library Medicine (1996)
- 9) Brzozowski, R., Skupinski, W., Jamroz, H., M., Skarzynski, M., Otwinowska, H. : Isolation and identification of diisopropynaphthalene isomers in the alkylation products of naphthalene. *Journal of Chromatography A*, 946 (2002).
- 10) Brzozowski, R. : Shape-selectivity in diisopropynaphthalene synthesis or analytical error? *Appl Catal A Gen.*, Vol.272, 1/2 215-218 (2004)
- 11) Jamroz, M. H., Brzozowski, R., Dobrowolski, J. C., : Search for IR spectral features of less-abundant diisopropynaphthalenes based on comparison of theoretical and experimental spectra. *Spectrochim Acta PtA.*, Vol. 60A, 1/2, 371-375 (2004)
- 12) 鈴木元治, 松村千里, 中野武: GC/MS を用いた環境中のイソプロピルナフタレン類及びメチルナフタレン類の測定. 兵庫県立健康環境科学研究センター紀要第3号, (2006) (投稿中)